



کاهش فضای جستجو در بازشناسی زیرواژگان تایپی فارسی با استفاده از موقعیت نقاط و علائم

اسماعیل میری، سید محمد رضوی* و ناصر مهرشاد

گروه الکترونیک، دانشکده مهندسی برق و کامپیوتر، دانشگاه بیرجند، بیرجند، ایران

چکیده

در این مقاله با استفاده از روشی ساده، اما کارا سعی شده دامنه جستجوی زیرواژگان بهشت کاهش یابد. در گام آموزش، داده‌های آموزشی براساس موقعیت علائم گروه‌بندی می‌شوند، در گروه‌هایی که تعداد عناصر بیش از ده زیرواژه است، برای کاهش فضای جستجو با توجه به تعداد عناصر گروه، با استخراج ویژگی‌های ساده‌ای از پروفایل‌های افقی و عمودی خوشه‌بندی صورت می‌گیرد. در مرحله بازشناسی در نخستین مرحله با تعیین نسبت پهنا به ارتفاع زیرواژه (با علائم و بی‌علائم) و کد موقعیت نقاط و علائم، دامنه جستجو به زیرواژگانی با این کد موقعیت که در محدوده‌ای از نسبت‌های یادشده باشد، محدود می‌شود؛ در صورتی که تعداد زیرواژگان محدود شده در این مرحله کمتر از ده باشد، این محدوده پذیرفته و در غیر این صورت در مرحله بعد با استخراج ویژگی‌های ساده‌ای از پروفایل‌های افقی و عمودی فضای جستجو به تعدادی از نزدیکترین خوشه‌ها به این زیرواژه که شرط نسبت پهنا به ارتفاع را نیز ارضا کنند محدود می‌شود. با اعمال روش پیشنهادی این مقاله فضای جستجو تا حد قابل قبولی کاهش یافته است.

واژگان کلیدی: بازشناسی، زیرواژگان تایپی فارسی، کاهش فضای جستجو، موقعیت نقاط و علائم

Search Space Reduction for Farsi Printed Subwords Recognition by Position of the Points and Signs

Esmail Miri, Seyyed Mohammad Razavi* & Nasser Mehrshad

Faculty of Electrical and computer Engineering, University of Birjand, Birjand, Iran

Abstract

In the field of the words recognition, three approaches of words isolation, the overall shape and combination of them are used. Most optical recognition methods recognize the word based on break the word into its letters and then recogniz them. This approach is faced some problems because of the letters isolation difficulties and its recognition accuracy in texts with a low image quality. Therefore, an approach based on none separating recognition could be useful in such cases.

In methods based on the overall shapes for subword recognition after extraction of subword features usually these features are searched in the image dictionary created in the training phase. Therefore, by considering that we are faced with massive amounts of classes, proposing ways to limit the scope of the search are the main challenges in the overall shape methods. Thus, the information of the overall shape usually is used to reduce the scope search in a hierarchical form.

In this paper, it is tried to reduce the search space of the subwords severely by using a simple and efficient method. In training phase, training data is grouped based on the location of the points and signs, in the groups where have more than 10 subwords, to reduce the search space, according to the number of elements in the group, by extracting the simple features of horizontal and vertical profiles clustering takes place. In

* Corresponding author

نویسنده عهده‌دار مکاتبات

recognition phase, in the first step, by determining the width to height ratio of the subword (with signs and without signs) and the position code of the points and signs, the search scope is limited to subwords with this position code that are within the range of the ratios mentioned. This range would be accepted if the number of subwords in this phase is less than ten. Otherwise, in the next step, by extracting the simple features of the horizontal and vertical profiles of the subwords, the search space will be limited to a number of the closest clusters to this subword that also satisfies the width-to-height ratio. By using the proposed method of this paper, the search space has fallen to an acceptable level.

In this study, a database of 12700 subwords with five Lotus, Zar, Nazanin, Mitra and Yaghut fonts scanned 400 dpi was used. The four Lotus, Zar, Nazanin and Mitra fonts were used in the training phase and in the test phase, Yaghut font is used.

Keywords: Recognition, Farsi Typed Subwords, Search Space Reduction, Position of the Points and Symbols.

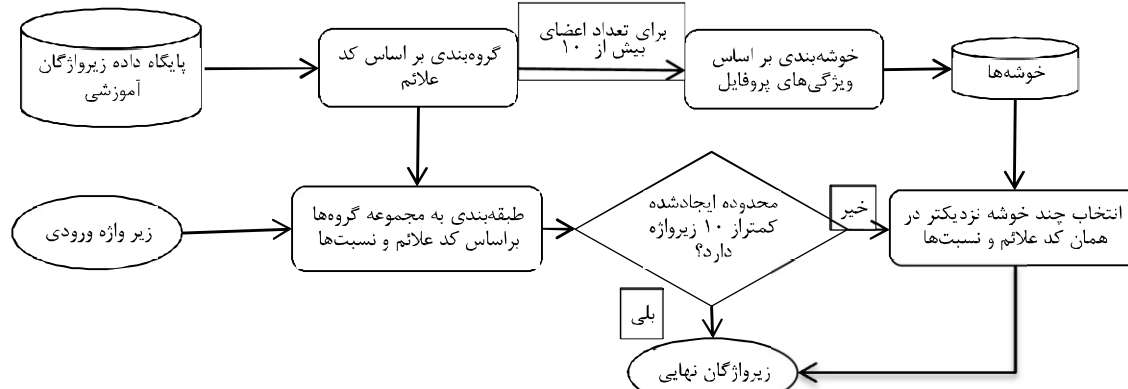
مواجهه هستیم، ارائه روش‌هایی برای محدود کردن دامنه این جستجو از چالش‌های اصلی موجود در روش‌های مبتنی بر شکل کلی است؛ از این‌رو اطلاعات شکل کلی به‌طور معمول برای کاهش دامنه جستجو در یک سامانه سلسه‌مراتبی به کار می‌رود [4-6]. علاوه‌بر سامانه‌های بازناسی، استفاده از اطلاعات شکل کلی واژه در بازیابی واژه میان مجموعه محدود واژگان، حجم پردازش را به شکل قابل ملاحظه‌ای کاهش می‌دهد. همچنین، توصیف شکل کلی واژه، روشی کارآمد برای نشان‌کردن واژگان پرس و جو در تصاویر اسناد است [7-13]. کاهش فضای جستجو، علاوه‌بر کاهش حجم محاسبات مورد نیاز در مراحل بعد، دقت نهایی سامانه بازناسی را نیز افزایش خواهد داد.

هدف از انجام این پژوهش ارائه یک روش ساده و در عین حال کارا جهت کاهش فضای جستجوی زیرواژگان فارسی است. در نخستین مرحله در گام آموزش زیرواژگان بر اساس کد موقعیت نقاط و علامت آنها گروه‌بندی می‌شوند؛ سپس در گروه‌هایی که تعداد اعضای آن بیش از ده زیرواژه است با استخراج ویژگی‌های ساده‌ای از پروفایل‌های افقی و عمودی با توجه به تعداد اعضاء، خوشبندی با این ویژگی‌ها صورت می‌گیرد. در گام بازناسی در نخستین مرحله با تعیین نسبت پهنا به ارتفاع زیرواژه (با علامت و بی‌علامت) و کد موقعیت نقاط و علامت، دامنه جستجو به زیرواژگانی با این کد موقعیت که در محدوده‌ای از نسبت‌های یادشده باشد، محدود می‌شود. در صورتی که تعداد زیرواژگان محدود شده در این گام کمتر از ده باشد این محدوده پذیرفته می‌شود، در غیر این صورت در مرحله بعد با استخراج ویژگی‌های ساده‌ای از پروفایل‌های افقی و عمودی فضای جستجو به تعدادی از نزدیک‌ترین خوشبها (مربوط به همان کد موقعیت نقاط) به این زیرواژه که شرط نسبت پهنا به ارتفاع را نیز ارضاء کنند محدود می‌شود. شکل (۱) اجزای اصلی روش پیشنهادی را نشان می‌دهد.

۱- مقدمه

امروزه به منظور ایجاد امکان ذخیره اسناد کتابخانه‌ها، موزه‌ها و بایکانی‌ها به صورت دیجیتالی و با قابلیت جستجو، روش‌های مختلف بازناسی واژگان مورد توجه قرار گرفته‌اند. در زمینه بازناسی واژگان سه رویکرد جداسازی واژگان، شکل کلی و ترکیبی از این دو استفاده شده است. واژگان در زبان فارسی از کنار هم قرار گرفتن حروف شکل می‌یابند که برخی از این حروف به هم می‌چسبند و برخی به صورت مجزا در ترکیب واژه حضور دارند. به قسمت‌های به هم چسبیده یک واژه زیرواژه گفته می‌شود. اکثر روش‌های بازناسی نوری نویسه با شکستن واژه به حروف تشکیل‌دهنده آن و بازناسی این حروف، واژه را بازناسی می‌کنند. این رویکرد بهدلیل مشکلات جداسازی حروف و بازناسی دقیق آنها در متون با کیفیت تصویری پایین با مشکلاتی مواجه است؛ بنابراین رویکرد مبتنی بر بازناسی بدون جداسازی در چنین مواردی کارساز خواهد بود. از طرفی پژوهش‌های روان‌شناسی زیادی در مورد نحوه قرائت انسان انجام شده است که یکی از نتایج این پژوهش‌ها این است که چشم انسان در زمان مطالعه یک خط متن، به‌طور پیوسته از راست به چپ حرکت نمی‌کند؛ بلکه به صورت گسسته از یک نقطه تمرکز به نقطه تمرکز دیگر جهش می‌کند. این پژوهش‌ها نشان داده زمان لازم برای بازناسی یک کلمه چهار حرفی برابر با زمان لازم برای بازناسی یک حرف مجزا است. پژوهش‌های انجام‌شده بر اهمیت شکل کلی واژه در فرآیند بازناسی تأکید کرده و با توجه به این موضوع برای به کارگیری ویژگی‌های تصویری در سطح واژه، روش‌هایی پیشنهاد شده است [1-3].

در روش‌های مبتنی بر شکل کلی، برای بازناسی زیرواژه به‌طور عمومی پس از استخراج ویژگی‌های زیرواژه، این ویژگی‌ها در واژه‌نامه تصویری تشکیل‌شده در مرحله آموزش جستجو می‌شود؛ لذا با توجه به این که با حجم انبوهی از رده‌ها



(شکل-۱): اجزای اصلی روش پیشنهادی
(Figure-1): The main components of the proposed process

قبل استفاده می‌شود. نتایج روی پایگاه داده IFN/ENIT که شامل ۲۶۴۵۹ تصویر زیروازه است، کاهش ۹۲/۵ درصدی فضای جستجو با دقت ۷۴٪ را نشان می‌دهد.

پژوهش [19] یک روش کاهش فضای جستجو برای اسناد تاریخی عربی را ارائه می‌دهد که تصویر زیروازه ورودی را با مدخل‌های لغتنامه مقایسه کرده و موارد با بیشترین تشابه را انتخاب می‌کند. در مقایسه تصاویر زیروازگان، اهمیت بیشتری به مناطق شاخص شکل داده می‌شود، مناطق شاخص مناطق محلی از زیروازه تعریف می‌شود که آن را از سایر زیروازگان لغتنامه متفاوت می‌کند. در این روش ابتدا یک معیار مبتنی بر بازیابی برای محاسبه نمره تمایز برای هر منطقه محلی اعمال می‌شود که نشان می‌دهد که آن نایحه از شکل چقدر شاخص است. این نمرات در اندازه فاصله تعريف شده برای تعدیل وزن‌های ویژگی‌های شکل مربوطه استفاده می‌شود؛ به طوریکه که مناطق با تمایز بیشتر، وزن بیشتری را به خود اختصاص می‌دهند. یک مرحله کاهش فضای ویژگی مبتنی بر ویژگی‌های کلی نگر مکان مشخصه به منظور تکمیل این توصیف‌گر محلی استفاده شده است. با روش پیشنهادی در پایگاه داده این‌سینا، حاوی بیش از دوازده هزار زیروازه استخراج شده از یک سند تاریخی عربی، میزان کاهش ۹۸/۱۵٪ با دقت ۱۵/۰٪ بدست آمده است.

پژوهش [20] یک روش بازناسنی واژگان دستنویس فارسی مبتنی بر کاهش فضای جستجو ارائه داده است. در این روش پس از استخراج ویژگی، واژگان در فرهنگ لغت خوش‌بندی می‌شوند. میانگین هر خوشه در فضای ویژگی به عنوان نماینده خوشه و مدخل مشترک اعضای آن خوشه در فرهنگ لغت در نظر گرفته می‌شود. در این روش روی مجموعه داده ایرانشهر در مرحله بازناسنی با انتخاب پنج خوشه نزدیک‌تر به واژه مورد آزمون با دقت ۳۷/۳٪ ۶۵/۷۶ حدود کاهش فضای جستجو را شاهد هستیم.

پایگاه داده استفاده شده در این مقاله مجموعه ۱۲۷۰۰ زیروازه رایج زبان فارسی [14] است که با پنجم قلم لوتوس، زر، نازنین، میترا و یاقوت با اندازه قلم چهارده نگارش و چاپ شده و با درجه تفکیک چهارصد نقطه در اینچ روبش شده‌اند. در ادامه در بخش ۲ به مرور روش‌های موجود پرداخته و در بخش ۳ ساختار کلی سامانه پیشنهادی ارائه می‌شود. ارزیابی روش پیشنهادی و نتایج در بخش ۴ آمده و در بخش ۵ جمع‌بندی و نتیجه‌گیری ارائه شده است.

۲- مروری بر کارهای گذشته

پیوستگی حروف در برخی خطها و در بعضی از شیوه‌های نگارش، قطعه‌بندی شکل واژه را پیچیده‌تر می‌سازد و موجب می‌شود که پژوهش‌گران گرایش بیشتری به سمت روش‌های مبتنی بر شکل کلی داشته باشند. خطوط فارسی، عربی و همچنین دستنویس انگلیسی از این دسته هستند. پژوهش‌های متعددی درباره بازناسنی خطوط پیوسته انجام شده است [15].

در مرجع [16] روش‌های مختلف ارائه شده برای بازناسنی واژگان دستنویس با رویکرد مبتنی بر شکل کلی بررسی شده و مرجع [17] به مرور روش‌های بازناسنی واژگان عربی با هر دو رویکرد مبتنی بر قطعه‌بندی و مبتنی بر شکل کلی پرداخته است.

پژوهش [18] یک استراتژی دومرحله‌ای برای حذف نامزدهای غیر شبیه قبل از بازناسنی واژگان دستنویس عربی برای افزایش سرعت بازناسنی ارائه داده است. اصول این روش شامل استخراج نقاط و زیروازه‌ها از تصویر واژه پیوسته عربی برای توصیف شکل آن است. در نخستین قدم از کاهش فضای جستجو، تعداد زیروازگان واژه ورودی تخمین زده می‌شود؛ سپس در دومین مرحله از اطلاعات نقاط در نامزدهای مرحله

افقی و عمودی، فضای جستجو به تعدادی از خوشه‌های منتخب محدود شده است. در دومین مرحله با تعیین نسبت پهنا به ارتفاع زیروازه، دامنه جستجو به زیروازگانی با محدوده‌ای از این نسبت محدود شده است. در مرحله سوم با توجه به موقعیت علائم تنها زیروازه‌هایی مورد جستجو قرار می‌گیرند که موقعیت علائم آنها با زیروازه ورودی یکسان باشند. با اعمال روش پیشنهادی فضای جستجو تا حد قابل قبولی کاهش یافته است.

۳- ساختار کلی روش پیشنهادی

ساختار روش پیشنهادی در شکل (۲) دیده می‌شود. در این پژوهش از پایگاه داده این‌گونه استفاده شده که از چهار قلم لوتوس، زر، نازنین، میترا برای آموزش و قلم یاقوت در مرحله آزمایش استفاده شده است.

در گام آموزش ابتدا پایگاه داده زیروازگان آموزشی بر اساس کد موقعیت علائم گروه‌بندی می‌شوند؛ سپس برای گروه‌هایی که بیش از ده عضو داشته باشند، ویژگی‌های ساده‌ای از پروفایل‌های افقی و عمودی استخراج شده و با توجه به تعداد اعضا (به‌ازای هر ده عضو یک خوشه) خوشه‌بندی با استفاده از این ویژگی‌ها صورت می‌گیرد. در گام بازناسی، کاهش فضای جستجو در چند مرحله صورت می‌گیرد. در مرحله نخست کد موقعیت علائم زیروازه ورودی و نسبت پهنا به ارتفاع (با علائم و بدون علائم) آن استخراج می‌شود. با توجه به کد موقعیت علائم استخراجی، فضای جستجو به محدوده‌ای از زیروازگان که کد موقعیت علائم یکسان دارند، محدود می‌شود (گروه مربوطه) در مرحله بعد با توجه به نسبت پهنا به ارتفاع زیروازه ورودی، فضای جستجو در گروه مربوطه به زیروازگانی که نسبت پهنا به ارتفاع (با علائم و بدون علائم) در محدوده مشخص داشته باشند، محدود می‌شود. در این مرحله اگر فضای جستجوی ایجادشده حاوی کمتر از ده زیروازه باشد، محدودسازی پایان یافته است؛ در غیر آن صورت با استخراج ویژگی‌های پروفایل‌های افقی و عمودی با سنجش فاصله این ویژگی‌ها از مراکز خوشه‌ها، تعدادی از خوشه‌های نزدیک انتخاب و اضافی این خوشه‌ها با لحاظ محدودیت نسبت پهنا به ارتفاع (با علائم و بدون علائم) به عنوان محدوده مورد نظر انتخاب می‌شوند. در ادامه هر کدام از مراحل یادشده تشریح شده است.

در پژوهش‌ها و کارهای انجام‌گرفته قبلی درخصوص زیروازگان تایپی فارسی به طرق مختلف در جهت کاهش دامنه جستجو تلاش شده است. مرجع [21] از تخمین توصیف‌گر سازگار با شکل زیروازه جهت کاهش فضای جستجو استفاده کرده است. روش پیشنهادی به این ترتیب است که ویژگی‌های مکان مشخصه، ناحیه‌بندی و تبدیل فوریه به عنوان سه ویژگی مناسب جهت بازناسی زیروازگان فارسی انتخاب شده‌اند. در مرحله آموزش، یک شبکه عصبی جهت تشخیص توصیف‌کننده مناسب از بین سه توصیف‌کننده انتخاب شده آموزش می‌بیند. در مرحله آزمایش، ابتدا شبکه عصبی آموزش دیده ویژگی توصیف‌گر مناسب جهت زیروازه ورودی را تخمین می‌زند، سپس بر اساس این ویژگی تعدادی از نزدیک‌ترین زیروازگان به زیروازه ورودی به عنوان فضای جستجوی کاهش یافته انتخاب می‌شوند.

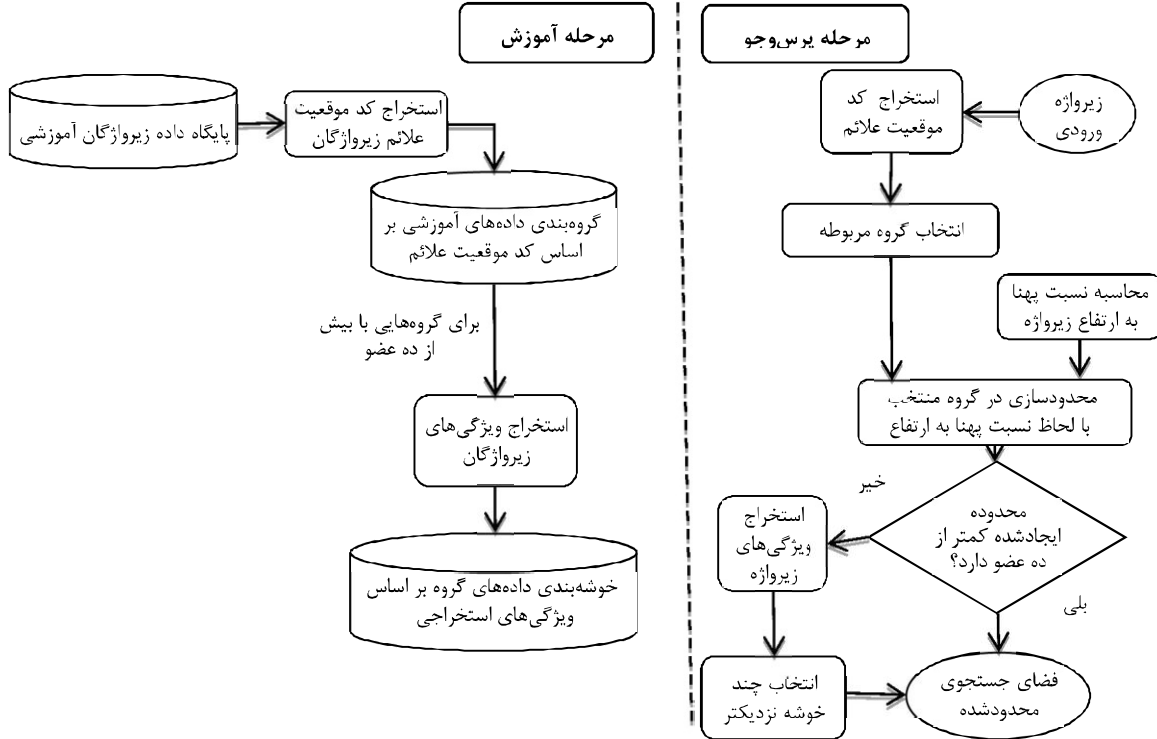
ابراهیمی برای کاهش دامنه جستجو ابتدا زیروازگان پایگاه داده را که از قلم‌ها و اندازه‌های متفاوت بودند با ویژگی‌های مکان مشخصه به سیصد خوشه تقسیم کرد [4]. در مرحله طبقه‌بندی، زیروازه ورودی با مرکز خوشه‌های یادشده مقایسه شده و نزدیک‌ترین خوشه‌ها با استفاده از ویژگی‌های توصیف‌گرهای فوریه مورد جستجو قرار می‌گیرند. در پژوهش دیگری داده از خوشه‌بندی با ویژگی‌های سراسری و افزایش میزان اطمینان به خوشه انتخابی براساس ویژگی‌های محلی شکل جهت کاهش تعداد خوشه‌های انتخابی و در نتیجه کاهش بیشتر فضای جستجو استفاده کرده است [22].

در پژوهش دیگری فتحی از حروف شاخص برای کاهش دامنه جستجو بهره برده است [23]. در این پژوهش حروف شاخص نخست و آخر زیروازه بدون جداسازی شناسایی و در مرحله طبقه‌بندی زیروازه ورودی تنها در زیروازگانی که دارای این حروف شاخص‌اند جستجو می‌شود.

در پژوهش دیگری علی‌بیگی از کد نقاط به این منظور استفاده کرده است [24]. در این پژوهش در مرحله طبقه‌بندی زیروازه ورودی تنها در بین زیروازگانی که دارای کد نقاط مشابه هستند جستجو می‌شود؛ لذا دامنه جستجو بهشت کاهش می‌یابد.

در پژوهش دیگری میری از خوشه‌بندی، کد موقعیت علائم و نسبت پهنا به ارتفاع زیروازگان برای محدودسازی فضای جستجو استفاده کرده است [25]. در این پژوهش در نخستین مرحله با استخراج ویژگی‌های ساده‌ای از پروفایل‌های





(شکل-۲): ساختار روش پیشنهادی
(Figure-2): The structure of the proposed method

۶. اگرچه فاصله علامت، تابعی از اندازه قلم است، اما این فاصله‌ها در قلم‌های مختلف متفاوت است.

(جدول-۱): موقعیت علامت در چند زیروازه نمونه

(Table-1): The position of the symbols in a few sample subwords

| یاقوت | زد | لوتوس | نازین | میترا | قلم نمونه |
|-------|-----|-------|-------|-------|--------------|
| ثُت | ثُت | ثُت | ثُت | ثُت | ثُت |
| ثُت | ثُت | ثُت | ثُت | ثُت | ثُت |
| ثُت | ثُت | ثُت | ثُت | ثُت | ثُت |
| ثُت | ثُت | ثُت | ثُت | ثُت | ثُت |
| ثُت | ثُت | ثُت | ثُت | ثُت | ثُت |
| گج | گج | گج | گج | گج | گج |

با لحاظ خواص قیدشده و با روش سعی و خطای درنهایت در جهت ایجاد قواعد یکنواخت برای استخراج کد علامت از پنج قلم مورد نظر مقاله، مراحل زیر طراحی شد:

مراحل استخراج کد علامت عبارتند از:

۱. برچسب‌زنی به اجزای زیروازه و جداسازی بدنۀ زیروازه (بزرگ‌ترین جز)
۲. استخراج پهنانی قلم (پر تکرارترین ضخامت موجود در بدنۀ زیروازه)
۳. ترکیب نقاط مربوط به یک حرف

۱-۳- کد موقعیت علامت زیروازه

در کارهای انجام شده قبلی از جمله در [4] و [23] و [24] از کد علامت زیروازه در مراحل مختلف مخاطب استفاده شده که در نوشتار با اندازه قلم کوچک و دقت تفکیک پایین منجر به خطای بالایی می‌شود؛ لذا در این مقاله برای حل این مشکل از کد موقعیت علامت جهت محدودسازی فضای جستجو استفاده شده است. جدول (۱) چند نمونه زیروازه با علامت مختلف را نشان می‌دهد. برخی از خواص علامت که از این جدول قابل استنباط است عبارتند از:

۱. به طور تقریبی در تمام قلم‌ها با عنایت به شکل خاص سه نقطه تشخیص و ترکیب آن در نخستین قدم به ذهن متبدار می‌شود.

۲. دو نقطه مربوط به یک حرف در بیشتر قلم‌ها به هم چسبیده است؛ اما با توجه به نسبت پهنا به ارتفاع از یک نقطه قابل شناسایی است.

۳. فاصله دو نقطه مربوط به یک حرف، به مراتب کمتر از دو نقطه مربوط به دو حرف است.

۴. در دو حرف علامت‌دار کنار هم موقعیت عمودی مرکز علامت در بیشتر قلم‌ها متفاوت است.

۵. گاهی زیر یا رو بودن علامت تنها با داشتن خط زمینه قابل تشخیص نیست (گج).

برخورد کردیم؛ موقعیت علامت را پایین در نظر می‌گیریم در غیر آن صورت موقعیت علامت بالا در نظر گرفته می‌شود.
اگر $X_{cmean} < X_{bmax}$ از نقطه‌ای به مختصات (X_{bmax}, Y_{cmean}) به سمت بالا حرکت می‌کنیم، اگر به بدن برخورد کردیم، موقعیت علامت پایین و در غیر این صورت موقعیت علامت بالا در نظر گرفته می‌شود.

اگر $X_{cmean} < X_{bmin}$ از نقطه‌ای به مختصات (X_{bmin}, Y_{cmean}) به سمت بالا حرکت می‌کنیم، اگر به بدن برخورد کردیم، موقعیت علامت پایین و در غیر این صورت موقعیت علامت بالا موقعیت علامت بالا در نظر گرفته می‌شود.

در مرحله بعد به هر زیروازه یک کد موقعیت علامت اختصاص می‌یابد. گفتنی است که در تشخیص نوع علامت امکان خطای زیادی وجود دارد؛ ولی در تعیین موقعیت علامت با الگوریتم استفاده شده تنها ممکن است، خطاهای نادری ناشی از کیفیت پایین روشن تصاویر اتفاق بیفتد.

۵. اختصاص کد (تعیین گروه)

روش اختصاص کد به زیروازگان به این ترتیب است که زیروازه مورد نظر از راست به چپ مورد بررسی قرار می‌گیرد. در هر حرف اگر یکی از علامت (یک نقطه، دونقطه (ترکیب شده)، سه نقطه (ترکیب شده)، سرکش، مدد، تشدید، همزه) در بالای بدن قرار گرفته باشد به آن حرف کد یک اختصاص می‌یابد و در صورتی که هر یک از علامت در زیر بدن قرار گرفته باشد به آن کد دو تعلق می‌گیرد. در غیر آن صورت کدی به آن حرف تعلق نمی‌گیرد و در نهایت از کنار هم قرار گرفتن کد حروف از چپ به راست، کد زیروازه به دست می‌آید. به زیروازهای که فاقد هرگونه علامت در پایین و بالا باشد کد صفر اختصاص می‌یابد. دوباره یادآوری می‌شود اعداد و نسبت‌های به کار گرفته شده در مراحل استخراج کد موقعیت علامت با سعی و خطا و کوشش در جهت ارائه یک طرح و فرمول فراگیر برای پوشش هر پنج قلم به دست آمده است.

جدول (۲) تعدادی از زیروازهای و کد موقعیت علامت استخراجی آنها را نشان می‌دهد. در جدول (۳) فراوانی کدهای مختلف در پایگاه داده نشان داده شده است. همان‌طور که در این جدول دیده می‌شود، بیشترین فراوانی در مجموعه ۸۶ به دست آمده با $\frac{1}{16/8}$ مربوط به کد یک (یک علامت بالا) است. از این ۸۶ کد ۴۶ کد دارای فراوانی کمتر از ده بوده که ۲۲ کد آن تنها یک عضو دارد. از تحلیل مجموعه اطلاعات رائه‌شده توسط این جدول، کارایی بالای استفاده از این

در این راستا ابتدا علامت زیروازه از راست به چپ مرتب می‌شوند؛ سپس نخستین علامت با علامت سمت چپ آن (در صورت وجود) در شروط زیر بررسی می‌شود:
ا. اگر فاصله افقی مرکز دو علامت کمتر از دو برابر پهنای قلم است.

ب. اگر فاصله عمودی لبه‌های دو علامت کمتر از $1/7$ برابر پهنای قلم است.

در صورت برآورده شدن همزمان شرایط بالا دو علامت با هم ترکیب شده و به عنوان یک علامت لحاظ می‌شوند و بار دیگر مراحل بالا با جزء ترکیبی تکرار و همین مراحل برای سایر علامت به ترتیب اجرا می‌شود. پس از تکمیل این فرایند، اجزای مربوط به سه نقطه و تعدادی از دونقطه‌ها ترکیب می‌شوند.

در مرحله بعد اجزای ترکیب شده قبلی کنار گذاشته می‌شوند و آنهایی را که مانده‌اند، در شرایط زیر بررسی می‌کنیم: برآورده شدن این شرایط به صورت همزمان باعث خواهد شد دونقطه‌های مجزای مربوط به یک حرف که در مرحله قبل ترکیب نشده‌اند، با هم ترکیب شوند:
ا. اگر فاصله عمودی مرکز دو نقطه کمتر از یک‌سوم پهنای قلم است؛

ب. اگر فاصله افقی لبه‌های دو نقطه کمتر از $1/5$ برابر پهنای قلم است؛

ت. اگر نسبت نسبت‌های پهنا به ارتفاع دوجزئی که شرایط بالا را دارند، کمتر از $1/6$ برابر است (این شرط باعث خواهد شد که یک نقطه با دو نقطه به هم چسبیده حرف مجاور ترکیب نشود)؛

ث. اگر نسبت مساحت دو جزء بین $5/5$ تا $2/1$ است (این شرط از ترکیب همزه و نقطه مجاور جلوگیری می‌کند).

۴. تعیین موقعیت علامت

برای تعیین بالا یا پایین بودن علامت اگر مختصات گوشه چپ بالای چارچوب بدن را X_{bmin} و Y_{bmin} و مختصات گوشه راست پایینی چارچوب بدن را X_{bmax} و Y_{bmax} در نظر بگیریم و برای مختصات مربوط به علامت از X_{cmin} ، Y_{cmin} و X_{cmax} و Y_{cmax} استفاده کنیم، مختصات مرکز چارچوب علامت عبارت خواهد بود از:

$$X_{cmean} = \left(\frac{X_{cmin} + X_{cmax}}{2} \right) \text{ و } Y_{cmean} = \left(\frac{Y_{cmin} + Y_{cmax}}{2} \right)$$

اگر $X_{bmin} \leq X_{cmean} \leq X_{bmax}$ باشد از مرکز چارچوب علامت به سمت بالا حرکت می‌کنیم اگر به بدن زیروازه

شکل (۳) نحوه استخراج ویژگی برای پروفایل‌های بالا و سمت راست برای یک زیروازه نمونه را نشان می‌دهد. نمونه‌های استخراجی و ویژگی نهایی استخراج شده پروفایل بالایی زیروازه شکل (۳) در جداول (۴) و (۵) آمده است. این ویژگی‌ها در هر چهار جهت به همین ترتیب استخراج و درنهایت جهت نرم‌سازی در هر بعد بر اندازه همان بعد تقسیم می‌شوند. در سطر دوم جدول (۴) ویژگی‌های نهایی از تقسیم سطر نخست همان جدول بر ۳۵ که ارتفاع زیروازه شکل (۳) است به‌دست آمده‌اند.

روش ساده انتخاب ویژگی و تعداد کم ویژگی‌ها (چهل ویژگی) در مقایسه با کارهای قبلی نقطه قوت روش پیشنهادی بوده و باعث افزایش سرعت و سادگی کار شده است. به‌عنوان نمونه در کارهای [۴] و [۱۸] از ویژگی‌های مکان مشخصه با سه تقاطع (۲۵۶ ویژگی) در مرحله خوشه‌بندی استفاده شده است.

(جدول-۲): کد موقعیت علائم چند زیروازه
(Table-2): The position code of few subwords

| | | | | | |
|-----------------|---------|----------|----------|----------|---------|
| زیروازه | 'بمیهن' | 'بنگلا' | 'بنگیا' | 'بنگیا' | |
| کد موقعیت علامت | 2112 | 212 | 21 | 211 | 221 |
| زیروازه | 'بنهم' | 'بننهند' | 'بننهند' | 'بننهند' | |
| کد موقعیت علامت | 212 | 211 | 211 | 211 | 2111 |
| زیروازه | 'بهشتی' | 'بهشتی' | 'بهشتی' | 'بهشتی' | 'بهشتی' |
| کد موقعیت علامت | 2 | 21 | 211 | 2111 | 221 |

محدود کننده به روشی قابل مشاهده است. به‌عنوان یک نکته اصلاحی با توجه به اینکه امکان اتصال سرکش به بدن در تعدادی از قلم‌ها وجود دارد، برای جلوگیری از خطا برای حرف "گ" هر دو کد بدون علامت و با یک علامت بالا لحظه شده که این امر باعث اضافه شدن تعداد عناصر پایگاه داده از ۱۲۷۰۰ به ۱۳۸۸۲ شده است.

۳-۲- استخراج ویژگی

در کارهای انجام شده قبلی برای بازناسی زیروازگان از ویژگی‌های ساختاری و آماری متفاوتی استفاده شده است. در این مقاله با توجه به هدف که طراحی روشنی ساده و کارا جهت کاهش دامنه جستجو است، ویژگی‌های ساده‌ای از پروفایل‌های افقی و عمودی استخراج شده است. با عنایت به طول متغیر بدن زیروازه‌ها و متغیرشدن طول بردار ویژگی، برای تولید بردارهای ویژگی با طول یکسان برای هر زیروازه روش‌های متفاوتی از جمله انتخاب N ضریب نخست تبدیل فوریه، درون‌یابی، نرم‌سازی و ... مورد آزمون قرار گرفت و با توجه به نتایج به‌دست‌آمده درنهایت با روش نمونه‌برداری که در ادامه تشریح شده برای هر زیروازه از هر جهت تنها ده ویژگی و درمجموع برای هر زیروازه چهل ویژگی از پروفایل‌های افقی و عمودی تصویر زیروازه استخراج شد.

(جدول-۳): کدهای موقعیت علائم و فراوانی آنها در زیروازگان پایگاه داده

(Table-3): The position codes of the signs and their frequency in the subwords of the database

| کد | تعداد | کد | تعداد | کد | تعداد | کد | تعداد | کد | تعداد | کد | تعداد | کد | تعداد | کد | تعداد | کد | تعداد | کد | تعداد |
|----|---------|----|--------|----|--------|----|-------|----|-------|----|-------|-----|-------|-----|-------|----|-------|----|-------|
| 2 | 212121 | 1 | 11222 | 1 | 22122 | 1 | 1222 | 26 | 1112 | 20 | 1222 | 482 | 211 | 856 | 0 | | | | |
| 1 | 221111 | 1 | 12111 | 3 | 22211 | 4 | 2111 | 2 | 1112 | 88 | 2111 | 230 | 212 | 213 | 1 | | | | |
| 1 | 221211 | 1 | 12112 | 4 | 22212 | 2 | 2111 | 18 | 1121 | 39 | 2112 | 379 | 221 | 138 | 2 | | | | |
| 1 | 221212 | 1 | 12122 | 1 | 11111 | 13 | 2112 | 4 | 1121 | 77 | 2121 | 120 | 222 | 183 | 11 | | | | |
| 1 | 221222 | 2 | 12222 | 1 | 11121 | 3 | 2112 | 19 | 1122 | 17 | 2122 | 125 | 111 | 116 | 12 | | | | |
| 1 | 222121 | 2 | 21111 | 1 | 11112 | 11 | 2121 | 16 | 1211 | 86 | 2211 | 48 | 111 | 141 | 21 | | | | |
| 1 | 112111 | 1 | 21112 | 3 | 11121 | 2 | 2121 | 4 | 1211 | 36 | 2212 | 172 | 112 | 712 | 22 | | | | |
| 1 | 1122211 | 3 | 211211 | 1 | 111212 | 4 | 21221 | 4 | 12121 | 28 | 221 | 48 | 1122 | 627 | 111 | | | | |
| 1 | 2112111 | 3 | 211212 | 2 | 111221 | 8 | 22111 | 10 | 12211 | 9 | 2222 | 118 | 1211 | 379 | 112 | | | | |
| | | 1 | 211221 | 8 | 112111 | 11 | 22112 | 2 | 12212 | 16 | 11111 | 24 | 1212 | 667 | 121 | | | | |
| | | 1 | 212112 | 1 | 112121 | 13 | 22121 | 4 | 12221 | 8 | 11112 | 86 | 1221 | 212 | 122 | | | | |

می کنیم که نخستین آنها برابر یک و آخرین آنها برابر N باشد. بین یک تا N را به $M-1$ بازه مساوی تقسیم می کنیم و $M-2$ عدد حقیقی دیگر را به دست می آوریم و این اعداد را گرد می کنیم تا شماره عناصری را که باید از N عنصر اولیه انتخاب کنیم، داشته باشیم. در صورتی که N بزرگتر یا مساوی M باشد، شماره های عناصر تکراری نخواهد بود؛ ولی اگر N بزرگتر یا مساوی M باشد، شماره های عناصر تکراری نیز داریم که نمونه ها را چندبار انتخاب می کنیم.

در مثال بالا $N=70$ و $M=10$ است. اگر بخواهیم بین یک تا هفتاد را به نه قسمت مساوی تقسیم کنیم، این اعداد را خواهیم داشت:

$$1 \quad 8/67 \quad 16/33 \quad 24 \quad 31/67 \quad 39/33 \quad 47 \quad 54/67 \quad 62/33 \quad 70$$

گردشده این اعداد عبارتند از:

$$1, 9, 16, 24, 32, 39, 47, 55, 62, 70$$

بر این اساس عناصری که در جدول (۴) با رنگ قرمز مشخص شده اند، انتخاب و در جدول (۵) آمده اند؛ ولی برای مثال اگر $N=7$ و $M=10$ باشد، این اعداد را داریم:

$$1 \quad 1/67 \quad 2/33 \quad 3 \quad 3/67 \quad 4/33 \quad 5 \quad 5/67 \quad 6/33 \quad 7$$

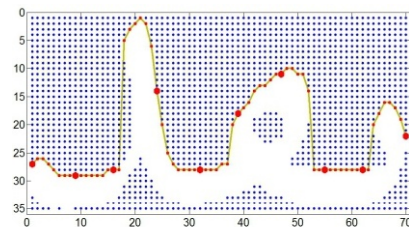
و اگر این اعداد را گرد کنیم اعداد زیر به دست می آید:

$$1, 2, 2, 3, 4, 4, 5, 6, 7$$

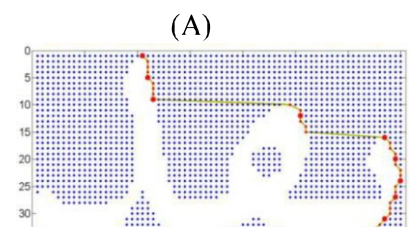
همان طور که مشاهده می شود، اعداد ۲، ۴، ۶ تکرار شده اند؛ بنابراین عناصر دوم، چهارم و ششم هر کدام دو بار و بقیه فقط یک بار انتخاب خواهند شد.

۳-۳- لحاظ نسبت پهنا به ارتفاع واژه

از محدودیت های ساده و مفیدی که برای کاهش فضای جستجو استفاده شده، به کار گیری نسبت پهنا به ارتفاع زیرو اژه ورودی است. ویژگی عمدی این محدود کننده این است که به علت ساختار نسبی آن مستقل از اندازه قلم است. در این مقاله برای کاهش فضای جستجو و در عین حال پوشش کل زیرو اژه ها در قلم های پنج گانه، با انجام آزمایش های متعدد، درنهایت فضای جستجو در خوش های مربوطه به زیرو اژه هایی که نسبت پهنا به ارتفاع بین $1/4$ تا $1/6$ نسبت پهنا به ارتفاع زیرو اژه ورودی دارند (با علائم و بدون علائم) محدود شده است. شکل (۴) نحوه محاسبه نسبت پهنا به ارتفاع یک زیرو اژه نمونه با علائم و بدون علائم و جدول (۶) همین نسبت ها را برای چند زیرو اژه نمونه نشان می دهدند.



(الف)



(ب)

(شکل-۳): استخراج ویژگی از بدن زیرو اژه، شکل سفیدرنگ: زیرو اژه پس از حذف علائم، نمودار سبز: پروفایل زیرو اژه، نقطه های قرمز روی نمودار سبزرنگ: ویژگی های پروفایل، دایره های روی منحنی سبز: ویژگی های نمونه برداری شده از پروفایل (شکل الف ویژگی های نمایه بالا و شکل ب ویژگی های پروفایل سمت راست).

(Figure-3): Extracting the feature from the body of subword, White Shape: after the removal of symbols, Green Curve: The profile of the subword, Red dots on the green Curve: Profile features, Circles on the Green Curve: Sample Profiles from the Profile (A: Top Profile features, and B: right Profile features).

(جدول-۴): ویژگی های استخراج شده از پروفایل بالایی زیرو اژه نمونه

(Table-4): upper profile Extracted Features of the sample subwords

| | | | | | | | | | | | | | |
|----|----|----|----|----|----|----|----|----|----|----|----|----|----|
| 27 | 26 | 26 | 27 | 28 | 29 | 29 | 29 | 29 | 29 | 29 | 29 | 29 | 29 |
| 28 | 28 | 28 | 5 | 3 | 2 | 1 | 2 | 6 | 14 | 20 | 25 | 27 | 28 |
| 28 | 28 | 28 | 28 | 28 | 28 | 28 | 27 | 27 | 20 | 18 | 17 | 16 | 14 |
| 13 | 13 | 12 | 11 | 11 | 10 | 10 | 11 | 11 | 14 | 28 | 28 | 28 | 28 |
| 28 | 28 | 28 | 28 | 28 | 28 | 28 | 20 | 18 | 16 | 16 | 17 | 19 | 22 |

(جدول-۵): ویژگی های نمونه برداری شده پروفایل بالایی

(Table-5): Upper profile sampled Features

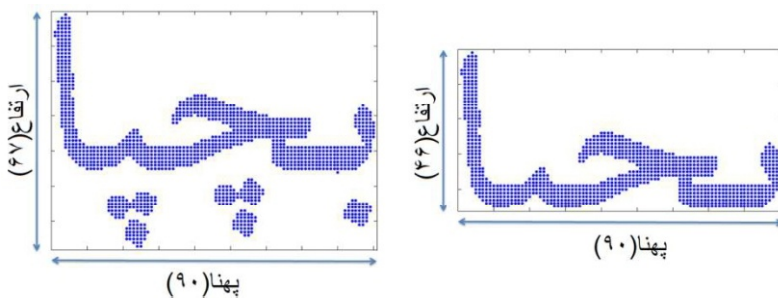
| نمونه های استخراجی | نمونه های ویژگی های نهایی |
|--|---|
| 27 29 28 14 28 18 11 28 28 22 | 0.77 0.83 0.8 0.4 0.8 0.51 0.31 0.8 0.8 0.63 |

همان طور که ملاحظه می شود، همواره پهنا به تصویر به اندازه تعداد ویژگی های مورد نظر نیست؛ در صورتی که پهنا به تصویر N پیکسل باشد و بخواهیم M ویژگی داشته باشیم، بدین صورت عمل می کنیم که ابتدا M عدد حقیقی ای تولید

(جدول-۶): نسبت پهنا به ارتفاع با علامت و بدون علامت چند زیروازه

(Table-6): Width-to-Height ratio with and without symbols of few sample subwords

| زیروازه | | | | | | | | | | نسبت پهنا به ارتفاع |
|----------|------------|------|------|-------|--------|--------|---------|----------|----------|---------------------|
| با علامت | بدون علامت | 'پ' | 'چه' | 'نقی' | 'بتیس' | 'صمغی' | 'بخشیم' | 'اغتصبو' | 'انهفتن' | |
| 2.73 | 2.02 | 3.45 | 2.12 | 2.53 | 2.25 | 1.25 | 1.46 | 1.15 | 2.73 | 3.02 |
| 3.02 | 2.7 | 3.67 | 2.87 | 3.38 | 2.88 | 1.68 | 2.48 | 2.25 | 3.02 | 3.02 |



(شکل-۴): نسبت پهنا به ارتفاع با علامت و بدون علامت یک زیروازه

(Figure-4): Width-to-Height ratio with and without symbols of a subword

بیفتد) به عنوان ورودی در نظر گرفته و مراحل کار تشریح شده است.

الف- زیروازه قشنگ: با عنایت به کد موقعیت علامت این زیروازه ۱۱۱۱ (۱۱۱۱) و جدول (۳)، در مرحله گروه‌بندی فضای جستجو برای این زیروازه به ۱۲۵ از زیروازه محدود می‌شود. با اعمال محدودیت پهنا به ارتفاع فضای جستجو به ۱۰۷ زیروازه کاهش می‌یابد؛ لذا با توجه به روال تعریف شده خوش‌بندی روی داده‌ها صورت گرفته (سیزده خوشة) و تعدادی از خوشه‌های نزدیکتر (یک ششم) به عنوان فضای منتخب نهایی انتخاب می‌شوند. درنتیجه این مراحل فضای جستجوی نهایی برای این نمونه به سیزده زیروازه محدود شده که در شکل (۵-الف) نشان داده شده است.

ب- زیروازه تعمیق: با عنایت به کد موقعیت علامت این زیروازه ۱۲۱ (۱۲۱) و جدول (۳) در مرحله گروه‌بندی فضای جستجو برای این زیروازه به ۶۶۷ زیروازه محدود می‌شود. با اعمال محدودیت پهنا به ارتفاع فضای جستجو به ۴۱۵ زیروازه کاهش می‌یابد؛ لذا با توجه به روال تعریف شده خوش‌بندی روی داده‌ها صورت گرفته (۶۷ خوشة) و تعدادی از خوشه‌های نزدیکتر (یک ششم) به عنوان فضای منتخب نهایی انتخاب می‌شوند. درنتیجه این مراحل فضای جستجوی نهایی برای این نمونه به ۷۸ زیروازه محدود شده که در شکل (۵-ب) نشان داده شده است.

ج- زیروازه شصتمین: با عنایت به کد موقعیت علامت این زیروازه ۱۱۲۱ (۱۱۲۱) و جدول (۳) در مرحله گروه‌بندی فضای جستجو به ۱۷۲ زیروازه محدود می‌شود.

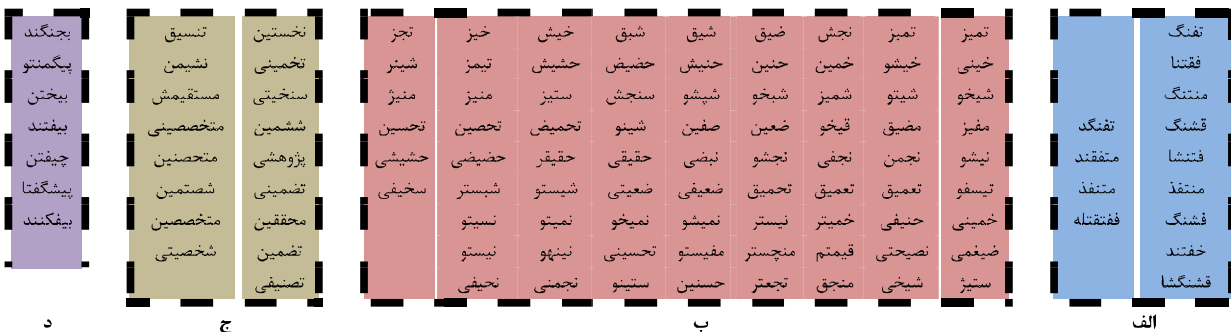
۳-۴- گروه‌بندی و خوش‌بندی

یکی از مراحلی که در این پژوهش به منظور کاهش فضای جستجو به کار گرفته شده گروه‌بندی است. در مرحله گروه‌بندی داده‌های آموزشی بر اساس کد موقعیت علامت آنها گروه‌بندی می‌شوند (زیروازه‌گانی که کد موقعیت علامت آنها یکسان است در یک گروه قرار می‌گیرند). در جدول (۳) کدهای موقعیت علامت و فراوانی آنها در زیروازه‌گان پایگاه داده ارائه شد. همان‌گونه که در این جدول دیده می‌شود در کل زیروازه‌گان پایگاه داده را از نظر کد موقعیت علامت می‌توان به ۸۶ گروه تقسیم کرد که تعداد زیادی از این گروه‌ها تنها یک عضو دارند.

گروه‌هایی که بیش از ۵ عضو دارند، با استفاده از الگوریتم خوش‌بندی k-میانگین با معیار فاصله اقلیدسی و ویژگی‌های استخراج شده در مرحله قبل به خوش‌هایی تقسیم می‌شوند. تعداد خوش‌ها با توجه به تعداد اعضای هر گروه اولیه (مجموعه‌ای که کد موقعیت علامت یکسان دارند)، یک خوش به‌ازای هر ۵ عضو لحاظ شده و از متوسط ویژگی‌های چهار قلم زر، لوتوس، نازنین و میترا به عنوان ویژگی‌های ورودی (مرحله آموزش) و ویژگی‌های ۱۲۷۰۰ زیروازه با قلم یاقوت به عنوان ویژگی‌های آزمایش استفاده شده است.

به منظور حصول نتیجه مورد نظر در خصوص کاهش فضای جستجو و در عین حال خطا کمتر در بازناسی وجود زیروازه مورد نظر در جمع زیروازه‌های پیشنهادی تعدادی از نزدیکترین خوش‌ها به زیروازه ورودی به عنوان فضای جستجو انتخاب می‌شوند. در ادامه در جهت بررسی شهردی روال کار، چهار زیروازه (قشنگ، تعمیق، شصتمین،

د- زیروازه بیفتند: با عنایت به کد موقعیت علائم این زیروازه (۲۲۱۲۲) و جدول (۳) در مرحله گروه‌بندی فضای جستجو به هشت زیروازه محدود می‌شود. با اعمال محدودیت پهنا به ارتفاع فضای جستجو به هفت زیروازه کاهش می‌یابد؛ لذا با توجه به روال تعریف شده نیاز به خوشبندی وجود ندارد و فضای جستجوی محدودشده نهایی در شکل (۵-د) نشان داده شده است.



(شکل-۵): فضای محدود شده برای چند زیروازه منتخب
(Figure-5): Limited space for selected subwords

پایان یافته تلقی می‌شود در غیر این صورت در جهت انتخاب نزدیک‌ترین زیروازه‌ها به زیروازه ورودی در محدوده کد مورد نظر پس از استخراج ویژگی با مراکز خوشبندی استخراج شده مقایسه شده و فاصله آن با مراکز خوشبندی مشخص شده و نزدیک‌ترین خوشبندی به زیروازه ورودی به عنوان خوشبندی هدف انتخاب می‌شوند. با توجه به تعداد متفاوت خوشبندی‌ها در کدهای مختلف برای سنجش تعداد مناسب خوشبندی نسبت خوشبندی‌های انتخابی به کل خوشبندی‌ها مورد استفاده قرار گرفته است.

جدول (۸) و (۹) تغییرات دقت و متوسط تعداد زیروازه با تغییر نسبت خوشبندی انتخابی به کل خوشبندی برای داده‌های آموزش و آزمایش را بدون محدودیت نسبت پهنا به ارتفاع نشان می‌دهند. همان‌طور که در جدول (۸) دیده می‌شود، بدون اعمال خوشبندی یا به عبارت دیگر با لحاظ یک خوشبندی هر گروه متوسط تعداد عناصر گروه ۱۱۵۰ خواهد بود که به معنی کاهش ۹۱٪ فضای جستجو با حفظ دقت ۱۰۰٪ است که با انتخاب یک‌ششم از خوشبندی تعداد متوسط زیروازگان برای داده‌های آزمایش به ۲۰۱ زیروازه است که به مفهوم کاهش ۹۸٪ فضای جستجو با دقت ۹۹٪ است. این تعداد برای داده‌های آموزش به چهارده زیروازه (کاهش ۹۹٪ فضای جستجو) با دقت صدرصد کاهش یافته است.

با اعمال محدودیت پهنا به ارتفاع فضای جستجو برای این نمونه به ۴۵ زیروازه کاهش می‌یابد؛ لذا با توجه به روال تعریف شده خوشبندی روی داده‌ها صورت گرفته (۱۷ خوشبندی) و تعدادی از خوشبندی‌های نزدیک‌تر (یک‌ششم) به عنوان فضای منتخب نهایی انتخاب می‌شوند درنتیجه این مراحل فضای جستجوی نهایی برای این نمونه به هفده زیروازه محدود شده که در شکل (۵-ج) نشان داده شده است.

۴- آزمایش‌ها و تحلیل نتایج

در این مقاله در یک رهیافت بازشناسی زیروازگان فارسی براساس شکل کلی زیروازه، ارائه یک روش ساده و در عین حال کارآمد در جهت محدود کردن فضای جستجوی زیروازگان مد نظر قرار گرفته است. در نخستین مرحله با توصیف قیدشده در مراحل قبل کد موقعیت نقاط و علائم داده‌های آموزشی استخراج و بر اساس این کدها داده‌های آموزشی به ۸۶ گروه تقسیم شده‌اند. با توجه به تعداد زیروازگان هرگروه برای گروه‌هایی که تعداد زیروازگان بیشتر از ۵ دارند خوشبندی براساس ویژگی‌های استخراج شده توصیف شده مبتنی بر متوسط ویژگی‌ها برای چهار قلم زره، لوتوس، نازنین و میترا صورت گرفته است. تعداد خوشبندی‌ها در این مرحله یک خوشبندی به ازای هر ۵ زیروازه لحاظ شده که با توصیف بالا در مجموع برای ۳۹ کد خوشبندی صورت گرفته است که اطلاعات مربوطه از جمله کدهایی که خوشبندی شده‌اند و تعداد خوشبندی‌ها در هر کدام در جدول (۷) دیده می‌شود.

در گام آزمایش ابتدا کد موقعیت علائم زیروازه ورودی استخراج گردیده و با توجه به آن گروه زیروازگان مرتبط با آن انتخاب می‌شود؛ سپس با توجه به نسبت پهنا به ارتفاع محدوده زیروازگان مورد نظر محدودتر می‌شود. در این حالت اگر تعداد زیروازگان محدودشده کمتر از ۵ زیروازه باشد، کار



(جدول-۷): تعداد خوشه‌ها و تعداد اعضا در کدهای مختلف

(Table-7): The number of clusters and the number of members in different codes

| کد موقعیت | ۱ | ۰ | ۲ | ۱ | ۱۱ | ۱۲ | ۲۱ | ۲۲ | ۱۲۱ | ۱۱۲ | ۱۱۲۱ | ۱۱۱۲ | ۱۱۱۱ | ۲۲۲ | ۲۲۱ | ۲۱۲ | ۲۱۱ | ۱۲۲ | ۱۲۱ | ۱۱۲ | ۱۱۱ | ۲۲ | ۲۱ | ۱۲ | ۱۱ | ۲ | ۱ | ۰ | | |
|------------|---|---|---|---|----|----|----|----|-----|-----|------|------|------|-----|-----|-----|-----|-----|-----|-----|-----|----|----|----|----|---|---|---|--|--|
| تعداد | | | | | | | | | | | | | | | | | | | | | | | | | | | | | | |
| تعداد خوشه | | | | | | | | | | | | | | | | | | | | | | | | | | | | | | |
| کد موقعیت | | | | | | | | | | | | | | | | | | | | | | | | | | | | | | |
| تعداد | | | | | | | | | | | | | | | | | | | | | | | | | | | | | | |
| تعداد خوشه | | | | | | | | | | | | | | | | | | | | | | | | | | | | | | |

(جدول-۸): تغییرات متوسط تعداد زیروازه با تغییر نسبت خوشه‌های انتخابی به کل خوشه‌ها برای داده‌های آموزش بدون محدودیت نسبت پهنا به ارتفاع

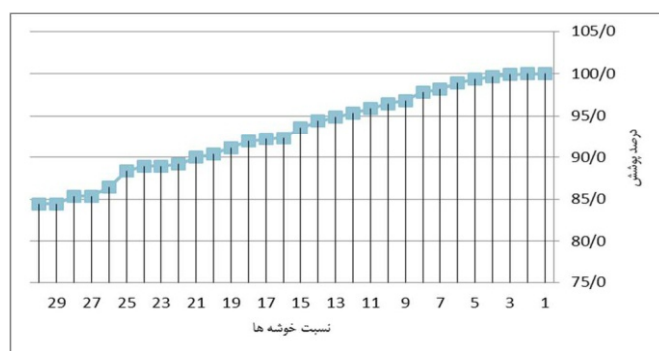
(Table-8): Mean variation of number of subword by changing the ratio of selected clusters to whole clusters for training data without the width-to-height ratio limiter

| نسبت تعداد خوشه ها (۱ به ...) | تعداد زیروازه |
|---|---------------|
| 86 92 99 107 116 125 138 156 175 203 239 295 385 583 1150 | |

(جدول-۹): تغییرات دقیق و متوسط تعداد زیروازه با تغییر نسبت خوشه‌های انتخابی به کل خوشه‌ها برای داده‌های آزمایش بدون محدودیت نسبت پهنا به ارتفاع

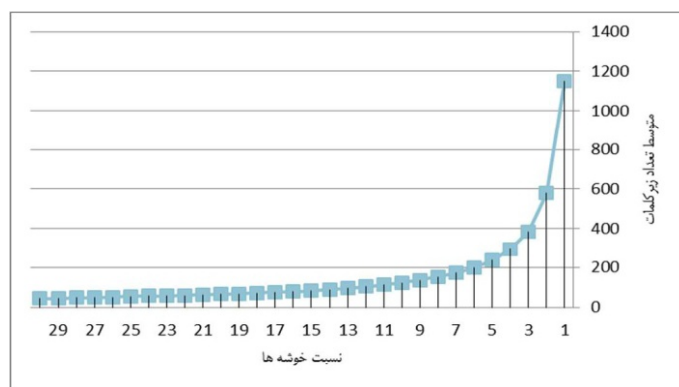
(Table-9): Coverage percentage and mean subword number variation with change in the ratio of selected clusters to total clusters for test data without limitation of width to height ratio

| نسبت تعداد خوشه ها (۱ به ...) | دقیق | تعداد زیروازه |
|---|------|---------------|
| 96.4 96.8 97.8 98.2 99 99.4 99.7 99.9 100 100 | | |
| 123 135 153 173 201 236 294 384 579 1150 | | |



(شکل-۶): چگونگی تغییرات دقیق با تغییرات نسبت خوشه‌ها در داده‌ها آزمایش (بدون لحاظ محدودیت نسبت)

(Figure-6): Coverage percentage changes with cluster ratio changes in test data (without regard to the limitation of the ratio)



(شکل-۷): چگونگی تغییرات متوسط تعداد زیروازگان محدود شده با تغییرات نسبت خوشه‌ها در داده‌های آزمایش (بدون لحاظ محدودیت نسبت)

(Figure-7): Moderate changes in the number of subwords limited by changes in the ratio of clusters in the test data (without regard to the limitation of the ratio)

تعداد متوسط زیروازگان برای داده‌های آزمایش به ۱۲۹ زیروازه (۹۹٪ کاهش فضای جستجو) با دقت ۹۸/۹٪ کاهش یافته که نشان‌دهنده کاهش ۳۶٪ فضای جستجو نسبت به حالت قبل است. این تعداد برای داده‌های آموزش به ده زیروازه (۹۹/۹٪ کاهش فضای جستجو) با دقت صدرصد کاهش یافته است. شکل‌های (۸) و (۹) چگونگی تغییرات دقت و متوسط تعداد زیروازگان را با تغییر نسبت خوشه‌ها نشان می‌دهند.

جدول (۱۰) و (۱۱) تغییرات دقت و متوسط تعداد زیروازه را با تغییر نسبت خوشه‌های انتخابی به کل خوشه‌ها برای داده‌های آموزش و آزمایش با اعمال محدودیت نسبت پهنا به ارتفاع نشان می‌دهند. همان‌طور که در جدول دیده می‌شود، بدون اعمال خوشه‌بندی یا به عبارت دیگر با لحاظ یک خوشه برای هر کد متوسط، تعداد عناصر خوشه در این شرایط به ۶۱۶ زیروازه (۹۵٪ کاهش فضای جستجو) کاهش یافته است که با انتخاب یک‌ششم از خوشه‌های مرحله دوم

(جدول-۱۰): تغییرات دقت و متوسط تعداد زیروازه با تغییر نسبت خوشه‌ها برای داده‌های آموزش

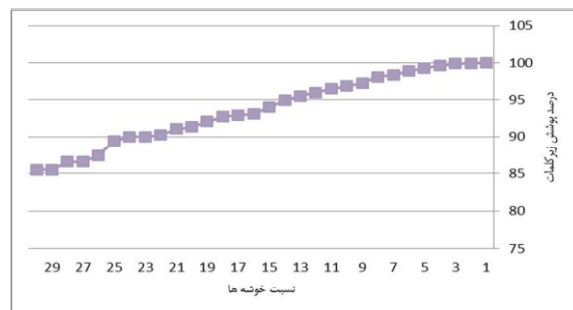
(Table-10): Coverage percentage and mean number of subword variation by changing the ratio of selected clusters to total clusters for training data

| نسبت تعداد خوشه‌ها (۱ به ...) | | | | | | | | | | | | | | | | |
|-------------------------------|-----|-----|-----|-----|-----|-----|-----|-----|-----|-----|-----|-----|-----|-----|--|---------------|
| | | | | | | | | | | | | | | | | دقت |
| | | | | | | | | | | | | | | | | تعداد زیروازه |
| 15 | 14 | 13 | 12 | 11 | 10 | 9 | 8 | 7 | 6 | 5 | 4 | 3 | 2 | 1 | | |
| 100 | 100 | 100 | 100 | 100 | 100 | 100 | 100 | 100 | 100 | 100 | 100 | 100 | 100 | 100 | | |
| 59 | 63 | 67 | 72 | 77 | 84 | 91 | 102 | 114 | 130 | 151 | 182 | 230 | 329 | 616 | | |

(جدول-۱۱): تغییرات دقت و متوسط تعداد زیروازه با تغییر نسبت خوشه‌ها برای داده‌های آزمایش

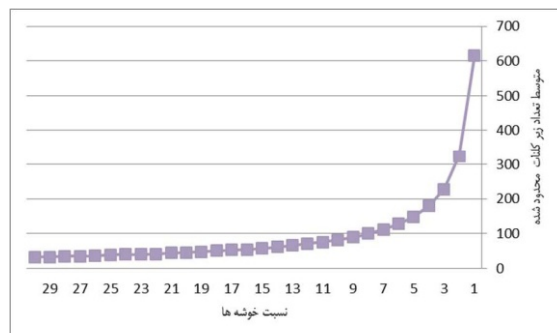
(Table-11): Coverage percentage and mean number of subword variation by changing the ratio of selected clusters to total clusters for test data

| نسبت تعداد خوشه‌ها (۱ به ...) | | | | | | | | | | | | |
|-------------------------------|------|------|------|------|------|------|------|-----|-----|--|--|---------------|
| | | | | | | | | | | | | دقت |
| | | | | | | | | | | | | تعداد زیروازه |
| 10 | 9 | 8 | 7 | 6 | 5 | 4 | 3 | 2 | 1 | | | |
| 96.8 | 97.2 | 98.1 | 98.4 | 98.9 | 99.3 | 99.6 | 99.9 | 100 | 100 | | | |
| 82 | 90 | 100 | 112 | 129 | 149 | 180 | 228 | 324 | 615 | | | |



(شکل-۸): چگونگی تغییرات دقت با تغییرات نسبت خوشه‌ها در داده‌ها آزمایش

(Figure-8): Coverage percentage variation by changing the ratio of selected clusters for test data



(شکل-۹): چگونگی تغییرات متوسط تعداد زیروازگان محدود شده با تغییرات نسبت خوشه‌ها در داده‌های آزمایش

(Figure-9): mean number of subwords variation by changing the ratio of selected clusters to total clusters for test data

۵- نتیجه‌گیری

با توجه به ساختار پیوسته نوشتہ‌های فارسی و ایرادهای مطرح شده برای روش‌های بازناسنی مبتنی بر شکستن واژه به حروف، کارایی روش‌های مبتنی بر شکل کلی قابل توجه است. درخصوص ایرادها و مشکلات این روش، تعداد زیاد رده‌ها که معادل تعداد زیروازگان است از گلوگاههای اصلی بهشمار می‌آید. نخستین مرحله برای کاهش فضای جستجو در این رویکرد، تقسیم فضا به بخش‌های مختلف به‌کمک خوشبندی است.

در این مقاله با توجه به هدف که طراحی روشی ساده و کارا جهت کاهش دامنه جستجو است از گروه‌بندی و خوشبندی به صورت همزمان استفاده شده است. در نخستین مرحله پایگاه داده به ۸۶ گروه بر اساس کد موقعیت علائم زیروازگان تقسیم می‌شود. با انتخاب گروه مرتبط با زیروازه ورودی فضای جستجو به اعضای آن گروه محدود می‌شود. برای ایجاد محدودیت بیشتر در گروه انتخاب شده، تنها اعضایی که از نظر نسبت پهنا به ارتفاع در محدوده‌ای از نسبت پهنا به ارتفاع زیروازه ورودی باشند، انتخاب می‌شوند. در صورتی که محدودیت‌های ایجاد شده به فضایی بیش از ده زیروازه منتهی شود (برای خوشبندی براساس ویژگی‌های ساده پروفایل‌های افقی و عمودی صورت گرفته و تنها تعدادی از خوشبندی نزدیک به زیروازه ورودی با رعایت حدود نسبت پهنا به ارتفاع، محدوده جدید را مشخص می‌کنند). برای مرحله خوشبندی ویژگی‌های ساده‌ای از پروفایل‌های افقی و عمودی استخراج شده است. برای استخراج ویژگی نزدیک‌ترین فاصله پیکسل‌های تصویر بدنه زیروازه از لبه‌های چهارگانه کادر به عنوان ویژگی انتخاب شده و با عنایت به طول متغیر بدنه زیروازه‌ها و متغیرشدن طول ویژگی، برای هر زیروازه از هر جهت تنها ده ویژگی به روش درون‌یابی انتخاب شده است و در مجموع برای هر زیروازه چهل ویژگی خواهیم داشت. از متوسط ویژگی‌های ۱۲۷۰۰ زیروازه در چهار قلم زر، لوتوس، نازنین و میترا به عنوان ویژگی‌ها ورودی (مرحله آموزش) و ویژگی‌های ۱۲۷۰۰ زیروازه با قلم یاقوت به عنوان ویژگی‌های آزمایش استفاده شده است. کاهش نهایی فضای جستجو از ۱۲۷۰۰ به ۱۲۹ (۹۹٪ کاهش) گویای عملکرد قابل توجه روش پیشنهادی است.

۴-۱- مقایسه نتایج با کارهای گذشته

در روش ارائه شده در این مقاله در مقایسه با روش‌های قبلی از جمله روش ارائه شده در [۴] و [۲۲] و [۲۵] علاوه بر سادگی و نتایج به‌نسبه بهتر، سرعت بهتری نیز حاصل شده است که این نتایج در جدول (۱۲) ارائه شده است. همان‌طور که در قبل نیز بیان شد، در [۴] پس از خوشبندی به سیصد خوشه ده خوشة نخست به عنوان فضای کاهش‌یافته معرفی شده و در روش ارائه شده در [۲۲] داودی موفق شده است با یک مرحله بهبود فضای جستجو را با حفظ دقت ۹۹٪/۱۷ به ۴٪/۸ خوشه از سیصد خوشه کاهش دهد و در روش معرفی شده در [۲۵] کاهش فضای ویژگی در چند مرحله به ۹۹٪/۲ رسیده است. روش ارائه شده در این پژوهش در مقایسه با سه روش یادشده، در عین سادگی با همان دقت، فضای جستجو را تا ۹۹٪ کاهش داده است که از دو روش نخست نتیجه به مرتبه بهتری حاصل شده و در مقایسه با روش سوم اگرچه نتیجه بهبودی را نشان نمی‌دهد، اما با توجه به دو مرحله‌ای شدن گروه‌بندی و خوشبندی از سرعت بیشتری برخوردار است که مزیت این روش نسبت به روش سوم است.

(جدول-۱۲): مقایسه نتایج

(Table-12): Comparing results

| روش | درصد کاهش دامنه جستجو |
|---|-----------------------|
| خوشبندی با ویژگی‌های سراسری (ابراهیمی [۴]) | ۹۶٪ |
| خوشبندی با ویژگی‌های سراسری و نواحی شاخص (داودی [۲۲]) | ۹۸٪ |
| خوشبندی با متوسط ۴ قلم و نسب پهنا به ارتفاع و موقعیت علائم [۲۵] | ۹۹٪ |
| روش ارائه شده در این مقاله | ۹۹٪ |

جهت مقایسه سرعت بازناسنی روش ارائه شده در [۲۵] و روش پیشنهادی این پژوهش که به عنوان نقطه قوت این روش بیان شده است، در شرایط یکسان با استفاده از رایانه‌ای با مشخصات (CPU:Core i7-3520M و RAM:8GB) و با استفاده از نرم‌افزار متلب، متوسط زمان صرف شده برای محدودسازی فضای جستجو برای یک زیروازه اندازه‌گیری شده که این زمان برای روش نخست زمان یازده میلی‌ثانیه و در روش دوم ۱۰/۵ میلی‌ثانیه گزارش شده است. در ضمن این زمان برای زیروازگانی که در روش پیشنهادی در مرحله نخست کاهش فضای جستجو گیر می‌افتد که شامل ۴۷ گروه از ۸۶ گروه هستند، بهشت کاهش خواهد یافت.

۶- مراجع

- on Document Analysis and Recognition, ICDAR'07, pp.68-72, 23-26 Sep. 2007.
- [10] S. Lu and C. L. Tan, "Document image retrieval through word shape coding," *IEEE Transactions on Pattern Analysis and Machine Intelligence*, vol. 30, no. 11, pp. 1913-1918, Nov. 2008.
- [11] J. A. Rodriguez-Serrano and F. Perronnin, "Handwritten word spotting using hidden markov models and vocabularies," *Pattern Recognition*, vol. 42, no. 9, pp. 2106-2116, Sep. 2009.
- [12] T. M. Rath and R. Manmatha, "Word spotting for historical documents," *International Jurnal on Document Analysis and Recognition*, Vol. 9, no. 2-4, pp. 139-152, Apr. 2007.
- [13] Y. Lu and C. L. Tan, "Information retrieval in document image databases," *IEEE Transactions on Knowledge and Data Engineering*, Vol. 16, no. 11, pp. 1398-1410, Nov. 2004.
- [14] A. Ebrahimi and E. Kabir, "A pictorial dictionary for printed farsi sub words," *Pattern Recognition Letters*, Vol. 29, no. 5, pp. 656-663, 2008.
- [15] A. Rehman and T. Saba, "Off - line cursive script recognition: current advances, comparisons and remaining problems," *Artificial Intelligence Review*, vol. 37, no. 4, pp. 261-288, 2012.
- [16] S. G. Madhvanath and V. Govindaraju, "The role of holistic paradigms in handwritten word recognition," *IEEE Transactions on Pattern Analysis and Machine Intelligence*, vol. 23, no. 2, pp. 149-164, Feb. 2001.
- [17] L. M. Lorigo and V. Govindaraju, "Off - line arabic handwriting recognition: a survey," *IEEE Transactions on Pattern Analysis and Machine Intelligence*, vol. 28, no. 5, pp. 712-724, May 2008.
- [18] S. Mozaffari, K. Faiez, V. Märgner and H. Elabed, "Two-stage lexicon reduction for offline Arabic handwritten word recognition," *International Journal of Pattern Recognition and Artificial Intelligence*, vol. 22, No. 07: pp. 1323-1341, November 2008.
- [19] H. Davoudi, M. Cheriet and E. Kabir, "Lexicon reduction of handwritten arabic subwords based on the prominent shape regions," *International Journal on Document Analysis and Recognition*, vol 19, Issue 2, pp 139–153, 2016.
- [۲۰] برومند، سمیه و ایرانپور مبارکه، مجید، "بازشناسی واژگان دستنوشته با ویژگی‌های نوین و کاهش فرهنگ لغت"، مجله پردازش بینایی و تصویر، آماده چاپ، ۱۳۹۶.
- [1] T. Adamek, N. E. Connor, and A. F. Smeaton, "Word matching using single closed contours for indexing Handwritten Historical Documents," *International Jurnal of Document Analysis and Recognition*, vol. 9, no. 2-4, pp. 153-165, 2007.
- [2] J. R. Pinales, R. J. Rivas, and M. J. C. Bleda, "Holistic Cursive word recognition based on perceptual features," *Pattern Recognition Letters*, vol. 28, no. 13, pp. 1600-1609, 1 Oct. 2007.
- [3] A. Amin, "Recognition of printed arabic text based on global features and decision tree learning techniques," *Pattern Recognition*, vol. 33, no. 8, pp. 1309-1323, 2000.
- [۴] ابراهیمی، افسین، "استفاده از شکل کلی زیرکلمات چاپی در بازیابی تصویر مستندات و بازناسی متون فارسی"، رساله دکتری مهندسی برق-الکترونیک، دانشگاه تربیت مدرس، تهران، ۱۳۸۴.
- [4] A. Ebrahimi, "Using the holistic form of print subwords in retrieving documentary images and recognizing Persian texts", Ph.D. dissertation, Electron. Eng., Tarbiat Modares Univ., Tehran, 1384.
- [۵] خسروی، حسین و کبیر، احسان الله، "ارزیابی روش‌های بازناسی متون فارسی بر مبنای شکل کلی زیرکلمات"، نشریه مهندسی برق و کامپیوتر ایران، جلد ۷، شماره ۴، صص. ۲۶۷-۲۸۰، ۱۳۸۸.
- [5] H. Khosravi, E. Kabir, "Evaluation of methods for recognizing Persian texts based on the holistic form of subwords," *Iranian Journal of Electrical and Computer Engineering*, vol.7, no.4, pp.267-280, 2005.
- [6] S. Madhvanath, G. Kim, and V. Govindaraju, "Chain code contour processing for handwritten word recognition," *IEEE Transactions on Pattern Recognition and Machine Intelligence*, vol. 21, no. 9, pp. 928-932, Sep. 1999.
- [7] K. Zagoris, K. Ergina, and N. Papamarkos, "A document image retrieval system," *Engineering Application of Artificial Intelligence*, vol. 23, no. 6, pp. 872-879, 2010.
- [8] S. Bai, L. Li, and C. L. Tan, "Keyword spotting in document images through word shape coding," in Proc. 10th International Conference on Document Analysis and Recognition, ICDAR'09, pp. 331-335, 26-29 Jul. 2009.
- [9] L. Li, S. Lu, and C. L. Tan, "A fast keyword-spotting technique," in Proc. 9th Int. Conference

فصلنامه
پژوهش و راهنمایی



اسماعیل میری در سال ۱۳۷۲ مدرک کارشناسی مهندسی برق - الکترونیک را از دانشگاه تهران اخذ کرد و سپس در سال های ۱۳۹۰ و ۱۳۹۶ در مقاطع کارشناسی ارشد و دکترا مهندسی برق - کارشناسی ارشد و دکترا مهندسی از دانشگاه بیرجند دانش آموخته شد و هم‌اکنون در شرکت مخابرات ایران مشغول فعالیت است. زمینه‌های پژوهشی مورد علاقه ایشان عبارتند از: بازناسنی الگو و کاربردهای آن، پردازش تصویر. نشانی رایانمه ایشان عبارت است از:

miri.esmail@birjand.ac.ir



سید محمد رضوی در سال ۱۳۷۳ مدرک کارشناسی مهندسی برق - الکترونیک را از دانشگاه صنعتی امیرکبیر (واحد تفرش) اخذ کرد و در سال های ۱۳۷۵ و ۱۳۸۵ در مقاطع کارشناسی ارشد و دکترا مهندسی برق - الکترونیک از دانشگاه تربیت مدرس دانش آموخته شد. از سال ۱۳۷۶ به عنوان عضو هیأت علمی در دانشگاه بیرجند مشغول انجام وظیفه است. وی هم‌اکنون دانشیار دانشکده مهندسی برق و کامپیوتر دانشگاه بیرجند است. زمینه‌های پژوهشی مورد علاقه ایشان عبارتند از: بازناسنی الگو، پردازش تصویر و سامانه‌های هوشمند. نشانی رایانمه ایشان عبارت است از:

smrazavi@birjand.ac.ir



ناصر مهرشاد در سال ۱۳۷۳ مدرک کارشناسی خود را از دانشگاه فردوسی مشهد اخذ کرد و در سال های ۱۳۷۶ و ۱۳۸۲ در مقاطع کارشناسی ارشد و دکترا در دانشگاه تربیت مدرس گرایش مهندسی پزشکی دانش آموخته شد. وی هم‌اکنون عضو هیأت علمی گروه مهندسی الکترونیک دانشگاه بیرجند بوده و به عنوان دانشیار مشغول فعالیت است. زمینه‌های پژوهشی مورد علاقه ایشان شامل مهندسی بینایی، پردازش سیگنال دیجیتال و اطلاعات مهندسی پزشکی است. نشانی رایانمه ایشان عبارت است از:

nmehrshad@birjand.ac.ir

[20] S. Bromand, M. Iranpurmobaraka, " Handwritten words recognition with new features and reducing the dictionary," *Machine Vision And Image Processing*, unpublished.

[21] H. Davoudi, E. Kabir, "Using compatible shape descriptor for lexicon reduction of printed farsi subwords," *International Journal on Document Analysis and Recognition*, vol. 19, Issue 2. pp 139-153, 2016.

[۲۲] داوودی، هما و کبیر، احسان الله، "استفاده از مناطق ساخته زیروازگان چاپی فارسی برای کاهش فضای جستجو در بازناسنی آنها"، نشریه مهندسی برق و مهندسی کامپیوتر ایران، ب - مهندسی کامپیوتر، سال ۱۳۹۳، شماره ۱۲.

[22] H. Davoudi, E. Kabir, "Using compatible shape descriptor for lexicon reduction of printed farsi subwords," *Iranian Journal of Electrical and Computer Engineering*, vol. 12, Issue1., 2014.

[۲۳] فتحی، فائقه، استخراج حروف شاخص از زیروازگان چاپی فارسی، پایان‌نامه کارشناسی ارشد، دانشگاه صنعتی سهند، تبریز، ایران، ۱۳۸۸.

[23] F. Fathi, " Extraction of index letters from Persian printed subwords", M.S. thesis, Dept. Electron.Eng., Sahand University of Technology, Tabriz, Iran, 2009.

[۲۴] علی‌بیگی، محمد، بازناسنی زیروازگان تایپی فارسی، پایان‌نامه کارشناسی ارشد، دانشگاه بیرجند، بیرجند، ایران، ۱۳۸۹.

[24] M. Alibaigi, "Persian printed subwords recognition", M.Sc. thesis, Departmet of Electronic Engineering, University of Birjand, Birjand, Iran, 2010.

[۲۵] میری، اسماعیل، رضوی، سید محمد و مهرشاد، ناصر، "روشی ساده برای کاهش فضای جستجو در بازناسنی زیروازگان تایپی فارسی "، نهمین کنفرانس ماشین بینایی و پردازش تصویر ایران، دانشگاه شهید بهشتی، آبان ماه ۱۳۹۴.

[25] E. Miri, S.M. Razavi, N. Mehrshad, " A simple method for search space reduction in Persian typed subwords recognition," *9th Conference on Machine Vision and Image Processing conference*, Shahid Beheshti University, Tehran, 2015.

